

# Ressources quantiques et traitement numérique des images

François CHAPEAU-BLONDEAU

Étienne BELIN

Laboratoire Angevin de Recherche en Ingénierie des Systèmes (LARIS),  
Université d'Angers, France.



1/27

## L'imagerie et le quantique

- Au **niveau physique**, pour la formation de l'image,  
—> optique quantique, imagerie quantique,  
souvent avec des états quantiques à très grands nombres de photons,  
des systèmes quantiques de dimension infinie.
- Au **niveau computationnel**, pour le traitement de l'image,  
—> traitement numérique des images,  
avec des systèmes quantiques de dimension réduite,  
comme des qubits ou des octets de qubits.

### Analogie quantique du traitement numérique des images.

Motivé par miniaturisation des technologies,  
et pour accéder à des moyens de traitement inexistantes en classique.

2/27

Quantum Inf Process (2015) 14:1535–1537  
DOI 10.1007/s11128-015-1001-5

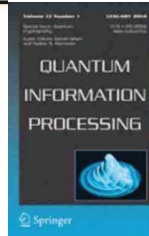


### Introductory words: Special issue on quantum image processing published by Quantum Information Processing

Salvador Elías Venegas-Andraca<sup>1</sup>

Published online: 30 April 2015

© Springer Science+Business Media New York 2015



Quantum computation and quantum information are transitioning from emerging branches of science into mature research fields in science and engineering. In addition

### Deux ressources quantiques essentielles :

exploitables pour le traitement d'image quantique.

- **Le parallélisme quantique**  
illustré ici (brièvement) via l'algorithme de Deutsch-Jozsa.
- **L'intrication quantique**  
illustrée (plus spécifiquement) comme sujet principal de cet exposé.

3/27

## Une notion clé de l'information quantique : Le qubit

Système quantique (photon, électron, atome), **défini** par un vecteur d'état

$$|\psi\rangle = \alpha_0 |0\rangle + \alpha_1 |1\rangle = \begin{bmatrix} \alpha_0 \\ \alpha_1 \end{bmatrix} \quad (1)$$

dans base orthonormale  $\{|0\rangle, |1\rangle\}$  d'un espace de Hilbert  $\mathcal{H}_2$  sur  $\mathbb{C}$  de dim. 2,  
avec les coordonnées complexes  $\alpha_0, \alpha_1 \in \mathbb{C}$  telles que  
 $|\alpha_0|^2 + |\alpha_1|^2 = \langle\psi|\psi\rangle = \|\psi\|^2 = 1$ , avec  $\langle\psi| = |\psi\rangle^\dagger = [\alpha_0^*, \alpha_1^*]$ .

Quand le qubit dans l'état  $|\psi\rangle$  est **mesuré** dans la base orthonormale  $\{|0\rangle, |1\rangle\}$   
=> uniquement deux résultats possibles (règle de Born) :

état  $|0\rangle$  avec probabilité  $|\alpha_0|^2 = |\langle 0|\psi\rangle|^2$ , ou  
état  $|1\rangle$  avec probabilité  $|\alpha_1|^2 = |\langle 1|\psi\rangle|^2$ .

(1) => qubit dans **superposition** quelconque de  $|0\rangle, |1\rangle$  —> **parallélisme**.

4/27

## Algorithme de Deutsch-Jozsa : Test parallèle d'une fonction

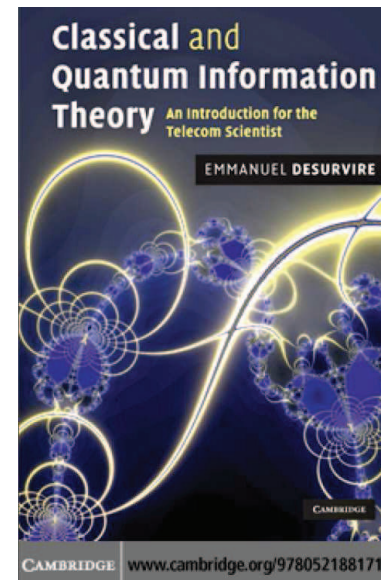
D. Deutsch, R. Jozsa ; "Rapid solution of problems by quantum computation";  
*Proceedings of the Royal Society of London A*, 439 (1993) 553–558.

Une fonction binaire classique  $f(\cdot) \left| \begin{array}{l} \{0, 1\}^N \rightarrow \{0, 1\} \\ 2^N \text{ valeurs} \rightarrow 2 \text{ valeurs,} \end{array} \right.$   
 peut être *constante* (tout vers 0 ou 1) ou *équilibrée* (nombres égaux de 0, 1 en sortie).

**Classiquement** : Entre 2 et  $\frac{2^N}{2} + 1$  évaluations de  $f(\cdot)$  pour décider.  
**Quantiquement** : Une seule évaluation de  $f(\cdot)$  suffit,  
 sur une superposition de l'ensemble des  $2^N$  entrées possibles simultanément,  
 puis traitement de sortie en superposition pour extraire rép. binaire selon algo. DJ.

**Parallélisme** a priori très pertinent en traitement d'images,  
 où typiquement on a à traiter de grandes quantités de données (qqs Moctets),  
 pour extraire (intelligemment) une petite quantité d'information (qqs bits).  
 (À explorer ...)

Deutsch-Jozsa algorithm  
 (Desurvire 2009,  
 Cambridge Univ. Press)



we obtain<sup>2</sup>

$$\begin{aligned} |\psi_2\rangle &= H^{2n} H_1 |\psi_1\rangle \\ &= H^{2n} |0\rangle^{2n} \otimes H |1\rangle \\ &= |+\rangle^{2n} |-\rangle \\ &= \frac{1}{\sqrt{2^n}} (|0\rangle + |1\rangle)^{\otimes n} \frac{|0\rangle - |1\rangle}{\sqrt{2}} \\ &= \frac{1}{\sqrt{2^n}} \left[ \sum_{x \in \{0,1\}^n} (-1)^{f(x)} |x\rangle \right] \frac{|0\rangle - |1\rangle}{\sqrt{2}} \\ &= \frac{1}{\sqrt{2^n}} \left[ \sum_{x=0}^{2^n-1} (-1)^{f(x)} |x\rangle \right] \frac{|0\rangle - |1\rangle}{\sqrt{2}}. \end{aligned} \quad (19.7)$$

We call  $|x\rangle$  the *query register*, similarly to the "register" in the classical von Neumann architecture (Chapter 15) the difference being that it is made of *qubits*. At ③, we obtain<sup>2</sup>

$$\begin{aligned} |\psi_3\rangle &= U_f |\psi_2\rangle \\ &= \sum_x \frac{|x\rangle}{\sqrt{2^n}} \frac{|0 \oplus f(x)\rangle - |1 \oplus f(x)\rangle}{\sqrt{2}} \\ &= \sum_x \frac{(-1)^{f(x)} |x\rangle}{\sqrt{2^n}} |-\rangle. \end{aligned} \quad (19.8)$$

And at ④, after passing the top  $n$ -qubit through the parallel gate  $H^{2n}$ , we obtain:

$$\begin{aligned} |\psi_4\rangle &= H^{2n} |\psi_3\rangle \\ &= \frac{1}{\sqrt{2^n}} \left[ \sum_x (-1)^{f(x)} H^{2n} |x\rangle \right] |-\rangle. \end{aligned} \quad (19.9)$$

To develop the right-hand side in Eq. (19.9), we must calculate  $H^{2n} |x\rangle = H^{2n} |x_1 x_2 \dots x_n\rangle$ . It is an easy exercise to establish that:

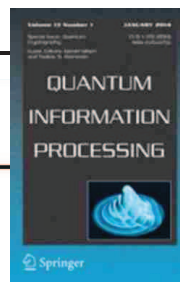
$$H^{2n} |x\rangle = \sum_z (-1)^{x \cdot z} |z\rangle, \quad (19.10)$$

where  $x \cdot z = x_1 z_1 + x_2 z_2 + \dots + x_n z_n$  is a scalar product modulo 2. Combining Eqs. (19.9) and (19.10), we then obtain:

$$\begin{aligned} |\psi_4\rangle &= \frac{1}{2^n} \left[ \sum_x \sum_z (-1)^{f(x)+x \cdot z} |z\rangle \right] |-\rangle \\ &= |\Psi\rangle |-\rangle. \end{aligned} \quad (19.11)$$

## Codage ou représentation quantique d'une image

Différentes approches envisageables,  
 selon propriétés visées,  
 encore largement en évolution.



Quantum Inf Process (2016) 15:1–35  
 DOI 10.1007/s11128-015-1195-6

### A survey of quantum image representations

Fei Yan<sup>1</sup> · Abdullah M. Ilyasu<sup>2</sup> ·  
 Salvador E. Venegas-Andraca<sup>3</sup>

Received: 8 January 2015 / Accepted: 19 November 2015 / Published online: 11 December 2015  
 © Springer Science+Business Media New York 2015

**Abstract** Quantum image processing (QIMP) is devoted to utilizing the quantum computing technologies to capture, manipulate, and recover quantum images in dif-

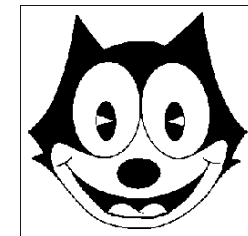
Ici, un codage invariant par changement de base et résistant au bruit.

## Codage quantique d'une image

On dispose d'une image numérique **classique**.  
 On envisage son codage **quantique**,  
 par exemple pour bénéficier en quantique de possibilités

- de haute densité de stockage ou de transmission,
- de traitement quantique.

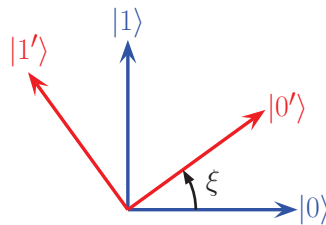
Par exemple,  
 une image classique binaire  
 (≡ un plan de bits d'une image 8-bits)  
 où chaque pixel a la valeur 0 ou 1.



En quantique,  
 chaque pixel serait représenté par les deux états  $|0\rangle, |1\rangle$  d'un qubit.

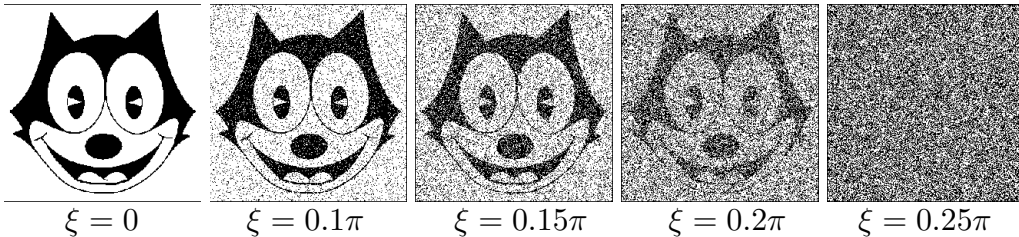
Mesure du qubit dans base  $\{|0'\rangle, |1'\rangle\}$  tournée de  $\xi$ .

$$\begin{cases} |0'\rangle = +\cos(\xi)|0\rangle + \sin(\xi)|1\rangle, \\ |1'\rangle = -\sin(\xi)|0\rangle + \cos(\xi)|1\rangle, \end{cases}$$



Pixel à 0  $\rightarrow$  codé par  $|0\rangle \rightarrow$  mesuré dans base  $\{|0'\rangle, |1'\rangle\} \rightarrow$  décodé 0 avec la probabilité  $|\langle 0'|0\rangle|^2 = \cos^2(\xi)$ .

Pixel à 1  $\rightarrow$  codé par  $|1\rangle \rightarrow$  mesuré dans base  $\{|0'\rangle, |1'\rangle\} \rightarrow$  décodé 1 avec la probabilité  $|\langle 1'|1\rangle|^2 = \cos^2(\xi)$ .



9/27

Mesure dans base tournée de  $\xi$  équivalent à bruit quantique bit-flip sur le qubit, avec la probabilité d'inversion (de flip)  $p = \sin^2(\xi)$ .

$$\begin{array}{l} |0\rangle \xrightarrow{p} |1\rangle, \\ \xrightarrow{1-p} |0\rangle. \end{array} \quad \begin{array}{l} |1\rangle \xrightarrow{p} |0\rangle, \\ \xrightarrow{1-p} |1\rangle. \end{array}$$

L'état du qubit est représentable par l'opérateur densité  $|\psi\rangle\langle\psi|$ , avec  $|\psi\rangle = |0\rangle$  pour un pixel à 0, ou  $|\psi\rangle = |1\rangle$  pour un pixel à 1, qui devient par l'effet du bruit de bit-flip, l'opérateur densité  $\rho$  d'un qubit bruité :

$$|\psi\rangle\langle\psi| \xrightarrow{\mathcal{N}} \rho = \mathcal{N}\left(|\psi\rangle\langle\psi|\right) = (1-p)|\psi\rangle\langle\psi| + p\sigma_x|\psi\rangle\langle\psi|\sigma_x^\dagger,$$

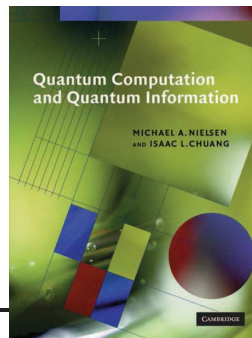
avec l'opérateur de Pauli  $\sigma_x = \begin{bmatrix} 0 & 1 \\ 1 & 0 \end{bmatrix}$  d'inversion.

Ainsi le qubit (non bruité) dans l'état (pur)  $|\psi\rangle = |0\rangle$  ou  $|1\rangle$  mesuré dans la base  $\{|0'\rangle, |1'\rangle\}$  tournée de l'angle  $\xi$ , est équivalent au qubit bruité dans l'état (mélangé)  $\rho$  mesuré dans la base non tournée  $\{|0\rangle, |1\rangle\}$ .

10/27

Davantage sur le bruit quantique, les opérateurs densité, le qubit bruité.

Nielsen & Chuang, 2000.



IEEE TRANSACTIONS ON INFORMATION THEORY

4500

IEEE TRANSACTIONS ON INFORMATION THEORY, VOL. 61, NO. 8, AUGUST 2015

## Optimization of Quantum States for Signaling Across an Arbitrary Qubit Noise Channel With Minimum-Error Detection

François Chapeau-Blondeau

*Abstract*—For discrimination between two signaling states of a qubit, the optimal detector minimizing the probability of error is applied to the situation where detection has to be performed from a noisy qubit affected by an arbitrary quantum noise separately inevitable error; and such a general situation is frequent since quantum noise and decoherence are prone to break the orthogonality of two initial quantum states. A meaningful general approach than it is to seek the optimal quantum measurement

11/27

Pour l'image binaire codée avec les deux états quantiques  $|0\rangle, |1\rangle$ , comment lors du décodage par une mesure dans une base décalée  $\{|0'\rangle, |1'\rangle\}$ , lutter contre l'effet néfaste d'un décalage angulaire  $\xi \neq 0$ , équivalent à un bruit de probabilité de flip  $p = \sin^2(\xi)$  ?

• **Approche classique :**

Par exemple, un code à répétition : un pixel est codé par 3 qubits :

valeur 0 du pixel  $\rightarrow$  codée par  $|0\rangle|0\rangle|0\rangle = |0\rangle \otimes |0\rangle \otimes |0\rangle = |000\rangle$ ,

valeur 1 du pixel  $\rightarrow$  codée par  $|1\rangle|1\rangle|1\rangle = |1\rangle \otimes |1\rangle \otimes |1\rangle = |111\rangle$ ,

ce qui réduit à  $p^3 + 3(1-p)p^2$  la probabilité d'une erreur de décodage.

• **Approche quantique :**

Offre la possibilité d'un décodage exact, sans erreur, pour tout décalage  $\xi$ , en exploitant l'intrication quantique.

$\rightarrow$  Chaque pixel sera codé par une paire de qubits intriqués.

12/27



## Qu'est-ce qu'une paire de qubits intriqués :

Il s'agit de deux qubits A et B préparés de façon conjointe, dans un état  $|AB\rangle$  de l'espace de Hilbert  $\mathcal{H}_2 \otimes \mathcal{H}_2$  de dimension  $2 \times 2 = 4$ .

L'espace  $\mathcal{H}_2 \otimes \mathcal{H}_2 = \mathcal{H}_2^{\otimes 2}$  a pour base orthonormale

$$\left\{ |0\rangle \otimes |0\rangle = |00\rangle, \quad |0\rangle \otimes |1\rangle = |01\rangle, \quad |1\rangle \otimes |0\rangle = |10\rangle, \quad |1\rangle \otimes |1\rangle = |11\rangle \right\}.$$

Tout état de  $\mathcal{H}_2^{\otimes 2}$  (état à 2 qubits) s'écrit

$$|\psi\rangle = \alpha_{00} |00\rangle + \alpha_{01} |01\rangle + \alpha_{10} |10\rangle + \alpha_{11} |11\rangle, \quad (\text{avec } |\alpha_{00}|^2 + |\alpha_{01}|^2 + |\alpha_{10}|^2 + |\alpha_{11}|^2 = 1).$$

Dans  $\mathcal{H}_2^{\otimes 2}$  il existe un sous-ensemble d'états, dits séparables (factorisables), s'écrivant

$$\begin{aligned} |\phi\rangle &= (\alpha_1 |0\rangle + \beta_1 |1\rangle) \otimes (\alpha_2 |0\rangle + \beta_2 |1\rangle) \\ &= \alpha_1 \alpha_2 |00\rangle + \alpha_1 \beta_2 |01\rangle + \beta_1 \alpha_2 |10\rangle + \beta_1 \beta_2 |11\rangle. \end{aligned}$$

Tout état non séparable est **intriqué**. Par exemple  $|AB\rangle = \frac{1}{\sqrt{2}} (|00\rangle + |11\rangle)$ .

Les qubits A et B d'une paire intriquée n'ont séparément pas d'état individuel défini, mais ils réagissent conjointement comme un tout.

13/27

## Paradoxe EPR (Einstein-Podolski-Rosen) :

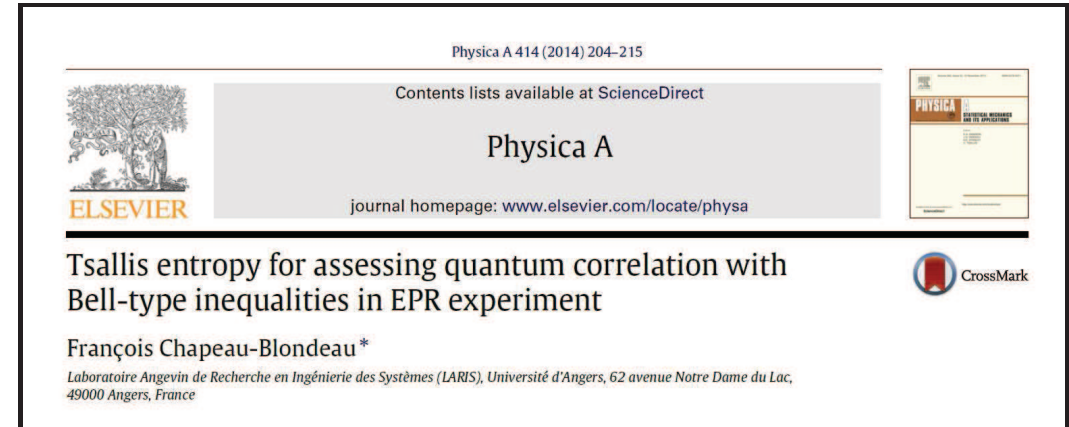
A. Einstein, B. Podolsky, N. Rosen ; "Can quantum-mechanical description of physical reality be considered complete?"; *Physical Review*, 47 (1935) 777-780.

## Inégalités de Bell :

J. S. Bell ; "On the Einstein-Podolsky-Rosen paradox"; *Physics*, 1 (1964) 195-200.

## Expériences d'Aspect :

A. Aspect, P. Grangier, G. Roger ; "Experimental test of realistic theories via Bell's theorem"; *Physical Review Letters*, 47 (1981) 460-463.

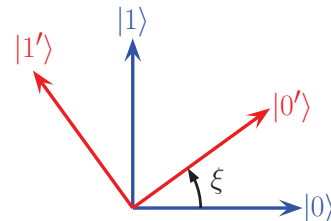


14/27

## Chaque pixel est codé par une paire de qubits intriqués :

$$\text{pixel à 0} \longrightarrow \text{codée par } |\beta_{00}\rangle = \frac{|00\rangle + |11\rangle}{\sqrt{2}},$$

$$\text{pixel à 1} \longrightarrow \text{codée par } |\beta_{11}\rangle = \frac{|01\rangle - |10\rangle}{\sqrt{2}}.$$



Comment sont vus les deux états de codage ( $|\beta_{00}\rangle, |\beta_{11}\rangle$ ) depuis la base tournée  $\{|0'\rangle, |1'\rangle\}$  du décodage ? Ils sont invariants. 😊

Passage entre bases de codage  $\{|0\rangle, |1\rangle\}$  et de décodage  $\{|0'\rangle, |1'\rangle\}$  :

$$\begin{cases} |0'\rangle = +\cos(\xi) |0\rangle + \sin(\xi) |1\rangle \\ |1'\rangle = -\sin(\xi) |0\rangle + \cos(\xi) |1\rangle \end{cases} \iff \begin{cases} |0\rangle = \cos(\xi) |0'\rangle - \sin(\xi) |1'\rangle \\ |1\rangle = \sin(\xi) |0'\rangle + \cos(\xi) |1'\rangle \end{cases}.$$

15/27

On a

$$\begin{aligned} |00\rangle &= (\cos(\xi) |0'\rangle - \sin(\xi) |1'\rangle) \otimes (\cos(\xi) |0'\rangle - \sin(\xi) |1'\rangle), \\ &= \cos^2(\xi) |0'0'\rangle + \sin^2(\xi) |1'1'\rangle - \cos(\xi) \sin(\xi) (|0'1'\rangle + |1'0'\rangle), \end{aligned}$$

et aussi,

$$\begin{aligned} |11\rangle &= (\sin(\xi) |0'\rangle + \cos(\xi) |1'\rangle) \otimes (\sin(\xi) |0'\rangle + \cos(\xi) |1'\rangle), \\ &= \sin^2(\xi) |0'0'\rangle + \cos^2(\xi) |1'1'\rangle + \cos(\xi) \sin(\xi) (|0'1'\rangle + |1'0'\rangle). \end{aligned}$$

d'où

$$|\beta_{00}\rangle = \frac{\cos^2(\xi) + \sin^2(\xi)}{\sqrt{2}} (|0'0'\rangle + |1'1'\rangle) = \frac{1}{\sqrt{2}} (|0'0'\rangle + |1'1'\rangle) = |\beta'_{00}\rangle.$$

$\implies$  L'état  $|\beta_{00}\rangle \equiv |\beta'_{00}\rangle$  est invariant  
vu de la base de codage  $\{|0\rangle, |1\rangle\}$  ou de décodage  $\{|0'\rangle, |1'\rangle\}$ .

16/27

De façon similaire

$$\begin{aligned} |01\rangle &= (\cos(\xi) |0'\rangle - \sin(\xi) |1'\rangle) \otimes (\sin(\xi) |0'\rangle + \cos(\xi) |1'\rangle), \\ &= \cos(\xi) \sin(\xi) (|0'0'\rangle - |1'1'\rangle) + \cos^2(\xi) |0'1'\rangle - \sin^2(\xi) |1'0'\rangle. \end{aligned}$$

et aussi,

$$\begin{aligned} |10\rangle &= (\sin(\xi) |0'\rangle + \cos(\xi) |1'\rangle) \otimes (\cos(\xi) |0'\rangle - \sin(\xi) |1'\rangle), \\ &= \cos(\xi) \sin(\xi) (|0'0'\rangle - |1'1'\rangle) - \sin^2(\xi) |0'1'\rangle + \cos^2(\xi) |1'0'\rangle. \end{aligned}$$

d'où

$$|\beta_{11}\rangle = \frac{\cos^2(\xi) + \sin^2(\xi)}{\sqrt{2}} (|0'1'\rangle - |1'0'\rangle) = \frac{1}{\sqrt{2}} (|0'1'\rangle - |1'0'\rangle) = |\beta'_{11}\rangle.$$

⇒ L'état  $|\beta_{11}\rangle \equiv |\beta'_{11}\rangle$  est aussi invariant

vu de la base de codage  $\{|0\rangle, |1\rangle\}$  ou de décodage  $\{|0'\rangle, |1'\rangle\}$ .

Interprétable comme résultant d'un comportement conjoint global de la paire intriquée.

17/27


Avec les deux états **invariants**  $|\beta_{00}\rangle = \frac{|00\rangle + |11\rangle}{\sqrt{2}}$  et  $|\beta_{11}\rangle = \frac{|01\rangle - |10\rangle}{\sqrt{2}}$

il existe deux autres états  $|\beta_{01}\rangle = \frac{|01\rangle + |10\rangle}{\sqrt{2}}$  et  $|\beta_{10}\rangle = \frac{|00\rangle - |11\rangle}{\sqrt{2}}$

formant une **base orthonormale**  $\{|\beta_{00}\rangle, |\beta_{01}\rangle, |\beta_{10}\rangle, |\beta_{11}\rangle\}$  de  $\mathcal{H}_2 \otimes \mathcal{H}_2$ ,

$|\beta_{01}\rangle$  et  $|\beta_{10}\rangle$  n'étant **pas invariants** vus de la base  $\{|0'\rangle, |1'\rangle\}$  tournée de  $\xi$ ,

mais se transforment via :  $|\beta_{01}\rangle = \cos(2\xi) |\beta'_{01}\rangle + \sin(2\xi) |\beta'_{10}\rangle$

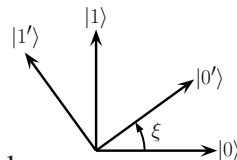
(pour la suite (diapo. 23))   $|\beta_{10}\rangle = \cos(2\xi) |\beta'_{10}\rangle - \sin(2\xi) |\beta'_{01}\rangle$ .

Or  $\{|\beta'_{00}\rangle, |\beta'_{01}\rangle, |\beta'_{10}\rangle, |\beta'_{11}\rangle\}$  forme aussi une **base orthonormale** de  $\mathcal{H}_2 \otimes \mathcal{H}_2$ , utilisable pour une **mesure projective de la paire de qubits**.

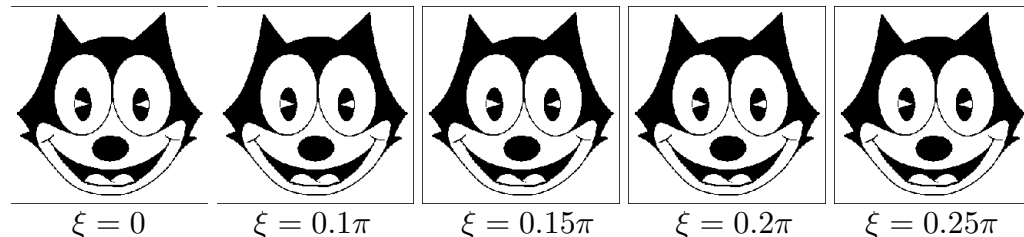
18/27

On obtient un **codage/décodage invariant** insensible au décalage angulaire  $\xi$ , pour le prix d'une paire de qubits (intriqués) par pixel.

Le codage a lieu dans la base  $\{|0\rangle, |1\rangle\}$  avec les deux états intriqués

$$\left( |\beta_{00}\rangle = \frac{|00\rangle + |11\rangle}{\sqrt{2}}, \quad |\beta_{11}\rangle = \frac{|01\rangle - |10\rangle}{\sqrt{2}} \right) \text{ invariants.}$$


Le décodage a lieu dans la base  $\{|0'\rangle, |1'\rangle\}$  tournée d'un  $\xi$  quelconque, par mesure de la paire de qubits se projetant sur  $|\beta'_{00}\rangle$  ou  $|\beta'_{11}\rangle$ .



19/27

Et pour le même prix (une paire de qubits (intriqués) par pixel) on obtient une **résistance accrue au bruit quantique**. 😊

L'image binaire codée avec les deux états intriqués orthogonaux

$$\left( |\beta_{00}\rangle = \frac{|00\rangle + |11\rangle}{\sqrt{2}}, \quad |\beta_{11}\rangle = \frac{|01\rangle - |10\rangle}{\sqrt{2}} \right)$$

(ces deux états étant invariants par rotation de la base),

subit aussi un **bruit de bit-flip** de probabilité de flip  $p$ ,

avant le décodage (la mesure) dans la base  $\{|0'\rangle, |1'\rangle\}$  tournée de  $\xi$ .

Le bruit de bit-flip agit de façon indépendante sur chaque qubit de la paire.

**Quelle est l'altération produite sur les deux états de codage  $|\beta_{00}\rangle$  et  $|\beta_{11}\rangle$  ?**

20/27

Altération de  $|\beta_{00}\rangle$  par le bruit quantique de bit-flip de probabilité  $p$  :

$$\begin{aligned}
 |\beta_{00}\rangle &= \frac{1}{\sqrt{2}}(|00\rangle + |11\rangle) \xrightarrow{(1-p)^2} \frac{1}{\sqrt{2}}(|00\rangle + |11\rangle) = |\beta_{00}\rangle, \\
 &\xrightarrow{p(1-p)} \frac{1}{\sqrt{2}}(|10\rangle + |01\rangle) = |\beta_{01}\rangle, \\
 &\xrightarrow{(1-p)p} \frac{1}{\sqrt{2}}(|01\rangle + |10\rangle) = |\beta_{01}\rangle, \\
 &\xrightarrow{p^2} \frac{1}{\sqrt{2}}(|11\rangle + |00\rangle) = |\beta_{00}\rangle.
 \end{aligned}$$

Donc par le bruit,  $|\beta_{00}\rangle$  reste inchangé avec probabilité  $(1-p)^2 + p^2$ , et  $|\beta_{00}\rangle$  est transformé en  $|\beta_{01}\rangle$  avec probabilité  $2(1-p)p$ .

21/27

Altération de  $|\beta_{11}\rangle$  par le bruit quantique de bit-flip de probabilité  $p$  :

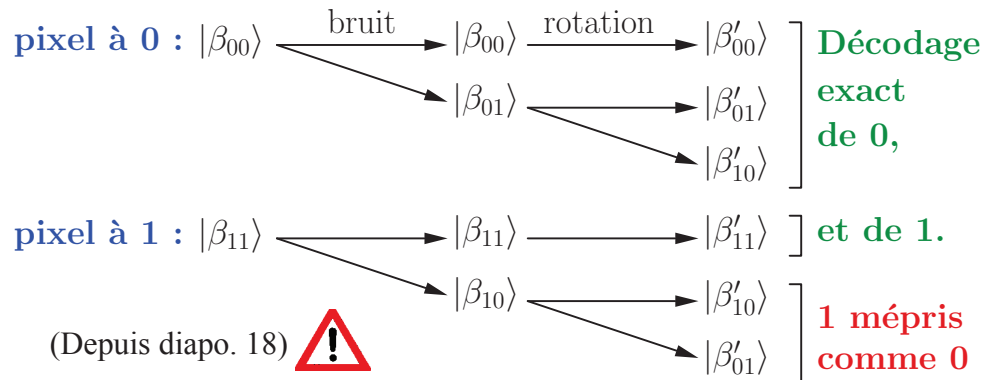
$$\begin{aligned}
 |\beta_{11}\rangle &= \frac{1}{\sqrt{2}}(|01\rangle - |10\rangle) \xrightarrow{(1-p)^2} \frac{1}{\sqrt{2}}(|01\rangle - |10\rangle) = |\beta_{11}\rangle, \\
 &\xrightarrow{p(1-p)} \frac{1}{\sqrt{2}}(|11\rangle - |00\rangle) = -|\beta_{10}\rangle \equiv |\beta_{10}\rangle, \\
 &\xrightarrow{(1-p)p} \frac{1}{\sqrt{2}}(|00\rangle - |11\rangle) = |\beta_{10}\rangle, \\
 &\xrightarrow{p^2} \frac{1}{\sqrt{2}}(|10\rangle - |01\rangle) = -|\beta_{11}\rangle \equiv |\beta_{11}\rangle.
 \end{aligned}$$

Donc par le bruit,  $|\beta_{11}\rangle$  reste inchangé avec probabilité  $(1-p)^2 + p^2$ , et  $|\beta_{11}\rangle$  est transformé en  $|\beta_{10}\rangle$  avec probabilité  $2(1-p)p$ .

Le bruit laisse les deux états intriqués de codage  $|\beta_{00}\rangle$  et  $|\beta_{11}\rangle$ , dans deux sous-espaces disjoints de  $\mathcal{H}_2 \otimes \mathcal{H}_2$ .

22/27

Codage, puis bruit, puis décodage dans base tournée de  $\xi$  quelconque :



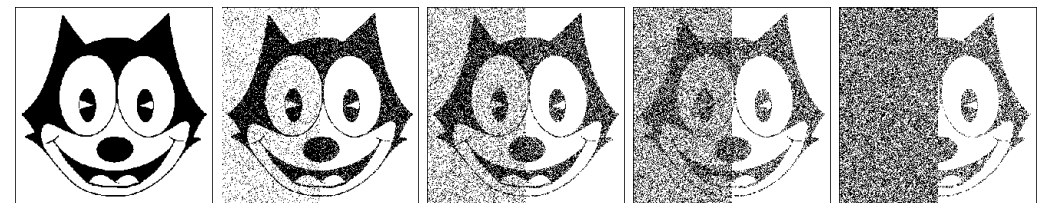
$\Rightarrow$  Bit 0 décodé sans erreur : immune au bruit.  
 Bit 1 décodé en erreur comme 0 avec probabilité  $2(1-p)p$ , qui pondérée par prior  $P_1 \leq 1/2$  donne  $2(1-p)pP_1 \leq p$  du codage direct  $(|0\rangle, |1\rangle)$ .

23/27

Deux codages/décodages quantiques d'une image binaire : **Effet du bruit**

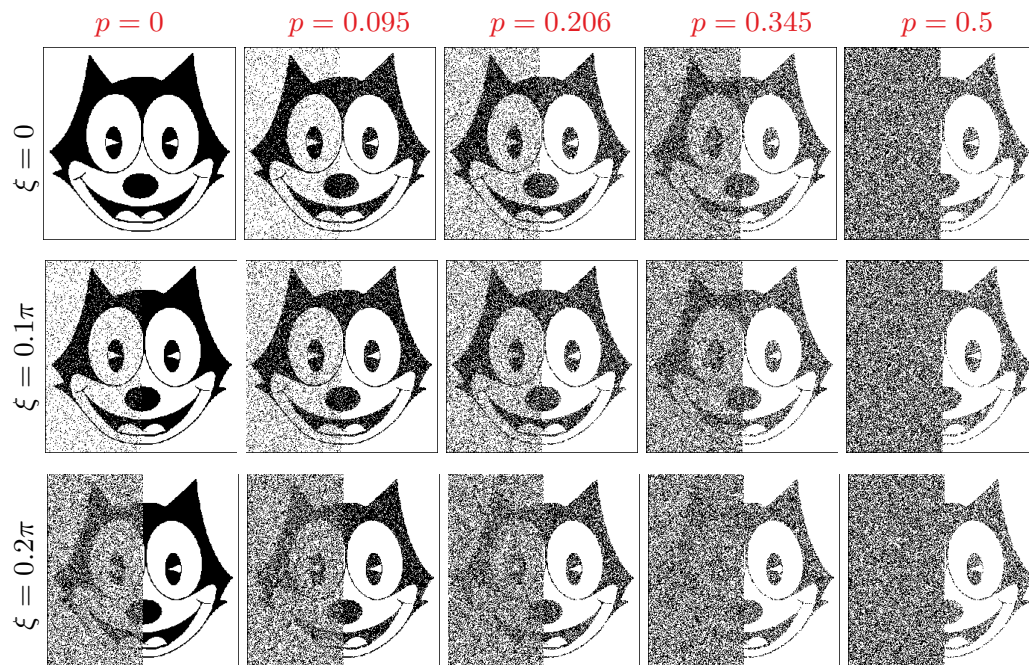
Dans la moitié gauche des images, codage non-invariant par les deux états  $(|0\rangle, |1\rangle)$ , puis altération par un bruit de bit-flip de probabilité  $p$ , puis décodage par projection sur la base  $\{|0\rangle, |1\rangle\}$ .

Dans la moitié droite des images, codage invariant par les deux états  $(|\beta_{00}\rangle, |\beta_{11}\rangle)$ , puis altération par un bruit de bit-flip de probabilité  $p$ , puis décodage dans une base  $\{|0'\rangle, |1'\rangle\}$  tournée de  $\xi$  quelconque par projection sur  $(\text{span}(|\beta'_{00}\rangle, |\beta'_{01}\rangle, |\beta'_{10}\rangle), \text{span}(|\beta'_{11}\rangle))$ .



$p = 0$        $p = 0.095$        $p = 0.206$        $p = 0.345$        $p = 0.5$

24/27



25/27

## Conclusion

- L'intrication quantique pour un codage d'image invariant avec la base et résistant au bruit.
- Des potentialités à explorer de l'information quantique (parallélisme, intrication) pour le traitement numérique des images sous forme quantique.

## Perspectives

- Plus largement, l'information quantique et le calcul quantique présentent de vastes potentialités pour le traitement du signal et des images . . .

26/27

**Merci de votre attention.**

27/27